



Laboratorium EMVO Sp. J. Urbański, Pawełak

ul. Jasna 1
00-013 Warszawa

tel. +48 22 780 29 64

e-mail: laboratorium@emvo.pl



AB 1630

Sprawozdanie z pomiarów pól elektromagnetycznych - środowisko nr 71/04/OŚ/2023-P4-W



Nr i nazwa stacji	KIE3312A	
Adres	Morawica, ul. Spacerowa 5, pow. kielecki, woj. świętokrzyskie	
Opracowanie	Wiesław Laskowski	Specjalista ds. pomiarów
Autoryzacja	Andrzej Urbański	Kierownik Laboratorium
Podpis		
Data	2023-04-27	

„Bez pisemnej zgody Laboratorium niniejsze sprawozdanie nie może być powielane inaczej, jak tylko w całości. Ponadto wyniki dotyczą tylko badanych obiektów przywołanych w niniejszym sprawozdaniu z badań”

71/04/OŚ/2023-P4-W

Strona 1 z 10

Spis treści

1. Informacje ogólne.	3
2. Podstawa prawna.	3
3. Opis pomiarów	3
4. Zróżnicowanie dopuszczalne poziomy pól elektromagnetycznych.....	4
5. Charakterystyka źródeł PEM.....	5
6. Wyniki pomiarów.	6
7. Stwierdzenie zgodności	7
8. Oświadczenie.....	8
9. Spis załączników.	8

1. Informacje ogólne.

Zleceniodawca	P4 Sp. z o.o., ul. Wynałazek 1, 02-677 Warszawa osoba udzielająca informacji – Monika Bieroza
Istotne informacje dostarczone przez klienta	komplet informacji niezbędnych do wykonania pomiarów i opracowania sprawozdania
Dane otrzymane od klienta mogące mieć wpływ na ważność wyników	dane anten sektorowych, dane anten radioliniowych, parametry pracy instalacji, poprawka pomiarowa
Prowadzący instalację	P4 sp. z o.o., ul. Wynałazek 1, 02-677 Warszawa
Lokalizacja obiektu	Morawica, ul. Spacerowa 5, pow. kielecki, woj. świętokrzyskie
Miejsce instalacji anten	komin
Miejsce instalacji urządzeń	outdoor
Osoby wykonujące pomiar	Jarosław Buząła - pomiarowiec
Data wykonania pomiaru	2023-04-27
Godzina rozpoczęcia pomiaru	9.30
Godzina zakończenia pomiaru	10.50
Temperatura na początku pomiaru [°C]	4
Temperatura na koniec pomiaru [°C]	4
Warunki atmosferyczne	brak opadów
Wilgotność na początku pomiaru [%]	74
Wilgotność na koniec pomiaru [%]	74
Inne źródła pól elektromagnetycznych oznaczone na załączniku graficznym	występują
Parametry pracy instalacji	eksploatacyjny

2. Podstawa prawna.

2.1 Normy i rozporządzenia:

- Rozporządzeniem Ministra Klimatu z dnia 17 lutego 2020 r. w sprawie sposobów sprawdzania dotrzymania dopuszczalnych poziomów pól elektromagnetycznych w środowisku (Dz.U. 2020 poz. 258)
- Rozporządzenie Ministra Zdrowia z dnia 17 grudnia 2019 r. w sprawie dopuszczalnych poziomów pól elektromagnetycznych w środowisku (Dz.U. 2019 poz. 2448)
- Obwieszczenie Marszałka Sejmu Rzeczypospolitej Polskiej z dnia 29 września 2021 r. w sprawie ogłoszenia jednolitego tekstu ustawy - Prawo ochrony środowiska (Dz.U. 2021 poz. 1973)
- Rozporządzenie Ministra Klimatu i Środowiska z dnia 6 maja 2022 r. zmieniające rozporządzenie w sprawie sposobów sprawdzania dotrzymywania dopuszczalnych poziomów pól elektromagnetycznych w środowisku (Dz.U. 2022 poz. 1121).

3. Opis pomiarów

Metodologia pomiarowa	Pomiary w oparciu o Rozporządzeniem Ministra Klimatu z dnia 17 lutego 2020 r. w sprawie sposobów sprawdzania dotrzymania dopuszczalnych poziomów pól elektromagnetycznych w środowisku (Dz.U. 2020 poz. 258) oraz Rozporządzenie Ministra Klimatu i Środowiska z dnia 6 maja 2022 r. zmieniające rozporządzenie w sprawie sposobów sprawdzania dotrzymywania dopuszczalnych poziomów pól elektromagnetycznych w środowisku (Dz.U. 2022 poz. 1121).
Cel badań	Określenie wartości natężenia pola elektrycznego w miejscach dostępnych dla ludności.

Opis zestawu pomiarowego	Miernik Narda NBM 520, Sonda EF 9091, o zakresie pomiarowym 0,7 V/m - 300V/m pracująca w paśmie 0,1 – 90 GHz, świadectwo wydane przez Laboratorium Wzorców i Metrologii Pola Elektromagnetycznego, Instytut Telekomunikacji, Teleinformatyki i Akustyki Politechniki Wrocławskiej. Świadectwo ważne do 07.07.2023. Miernik Narda NBM 520, Sonda EF 9091 pracująca w zakresie temperatury -10°C - +50°C oraz wilgotności 5% - 95%. Niepewność rozszerzona wynosi 57,4% przy poziomie ufności 95% z uwzględnieniem współczynnika rozszerzenia k=2.
Wyposażenie pomocnicze	Termohigrometr Termoprodukt, typ: Termik+, Nr. inwentarzowy 37/WL, nr identyfikacyjny 700618, świadectwo wzorcowania nr 1763/AH/19 z dn. 29.07.2019 r. wydane przez Laboratorium Pomiarowe "MUTECH". Przymiar wstęgowy STABILA, Nr. inwentarzowy 36/WL, nr identyfikacyjny 31WL, świadectwo wzorcowania nr 6W1/1826/19 z dn. 02.08.2019 r. wydane przez Dyrektora Okręgowego Urzędu Miar w Gdańsku. GPS Garmin 64s okresowo sprawdzany w punktach osnowy geodezyjnej klasy 3 na podstawie licencji punktu, zgodnie z procedurą sprawdzeń okresowych IS/PO16-11/03.
Pomiary zostały wykonane	<ol style="list-style-type: none"> na głównych i pomocniczych kierunkach pomiarowych, na kierunkach zbliżonych do azymutów anten oraz w dodatkowych pionach pomiarowych zgodnie z wymaganiami pkt 12, 13, 14 i 19 Rozporządzenia Ministra Klimatu z dnia 17 lutego 2020 r. (Dz. U. 2020, poz. 258) oraz Rozporządzenia Ministra Klimatu i Środowiska z dnia 6 maja 2022 r. zmieniającego rozporządzenie w sprawie sposobów sprawdzania dotrzymania dopuszczalnych poziomów pól elektromagnetycznych w środowisku (Dz.U. 2022 poz. 1121). na obszarze pomiarowym, dla którego, na podstawie uprzednio przeprowadzonych obliczeń stwierdzono w miejscach dostępnych dla ludności występowanie pól elektromagnetycznych o najwyższym poziomie, które pochodzą z badanej instalacji zgodnie z wymaganiami pkt 5 ppkt 2 oraz pkt 13 ppkt 1 Rozporządzenia Ministra Klimatu z dnia 17 lutego 2020 r. w sprawie sposobów sprawdzania dotrzymania dopuszczalnych poziomów pól elektromagnetycznych w środowisku (Dz. U. 2020, poz. 258) oraz Rozporządzenia Ministra Klimatu i Środowiska z dnia 6 maja 2022 r. zmieniającego rozporządzenie w sprawie sposobów sprawdzania dotrzymania dopuszczalnych poziomów pól elektromagnetycznych w środowisku (Dz.U. 2022 poz. 1121). Wyniki obliczeń nie uwzględniały parametrów pracy instalacji innych operatorów występujących na obiekcie bądź w obszarze pomiarowym. w miejscach dostępnych dla ludności. miejsca niedostępne podczas wykonywania pomiarów wskazane zostały w pkt 6 (tabeli wyniki pomiarów).
Szczególne warunki podczas wykonywania pomiarów	Pomiary wykonane zostały podczas obowiązywania w kraju stanu zagrożenia epidemicznego, zgodnie z art. 122a ust. 1b Ustawy z dnia 27 kwietnia 2001 r. – Prawo ochrony środowiska (Dz. U. z 2019 r. poz. 1396, z późn. zm.9))
Warunki pracy urządzeń nadawczych	Tryb pracy eksploatacyjny.

4. Zróżnicowanie dopuszczalne poziomy pól elektromagnetycznych.

Zakresy znajdują się w Dzienniku Ustaw z dnia 17 grudnia 2019 r. przedstawione są w tabeli nr 2 (Dz. U. z 2019r. poz. 2448).

Zakres częstotliwości pola elektromagnetycznego	Parametr fizyczny		
	Składowa elektryczna E (V/m)	Składowa magnetyczna H (A/m)	Gęstość mocy S (W/m ²)
od 400 MHz do 2000 MHz	$1,375 \times f^{0,5}$	$0,0037 \times f^{0,5}$	$f / 200$
od 2 GHz do 300 GHz	61	0,16	10

5. Charakterystyka źródeł PEM.

Zgodnie z informacją otrzymaną od klienta pomiary zostały wykonane przy ustawieniach pochyleń anten zgodnych z pkt. 13, ppkt 2 załącznika do rozporządzenia Ministra Klimatu z dnia 17 lutego 2020 roku.

Tabela 1. Anteny sektorowe - dane otrzymane od klienta

Charakterystyka promieniowania		kierunkowa									
Rzeczywisty czas pracy [h/dobę]		24									
Rodzaj wytwarzanego pola		stacjonarne									
Lp.	Wyszczególnienie	sektor 1					sektor 2				
I	Nadajnik stacji bazowej:										
1	Typ / Producent	RBS / SRAN Ericsson									
2	Częstotliwość (pasmo) MHz	2100	1800	900	2600	800	2100	1800	900	2600	800
3	Maksymalna moc nadawana na sektor [dBm]	53,01	53,01	47,78	52,04	49,03	53,01	53,01	47,78	52,04	49,03
II	Obciążenie:										
1	Typ anteny	Huawei ATR4518R4			Huawei ATR4518R6		Huawei ATR4518R4			Huawei ATR4518R6	
2	Producent anteny	Huawei			Huawei		Huawei			Huawei	
3	Nazwa anteny	11_GHLNT	11_GHLNT	11_GHLNT	12_HV	12_HV	21_GHLNT	21_GHLNT	21_GHLNT	22_HV	22_HV
4	Ilość anten	1			1		1			1	
5	Azymut	40					140				
6	Zakres kątów pochyleń anten [°]	0,00-10,00					0,00-10,00				
7	Wysokość zainst. n.p.t. [m]	32,50					32,50				
8	EIRP [W]	24775			13289		24775			13289	

Charakterystyka promieniowania		kierunkowa									
Rzeczywisty czas pracy [h/dobę]		24									
Rodzaj wytwarzanego pola		stacjonarne									
Lp.	Wyszczególnienie	sektor 3					sektor 4				
I	Nadajnik stacji bazowej:										
1	Typ / Producent	RBS / SRAN Ericsson									
2	Częstotliwość (pasmo) MHz	2100	1800	900	2600	800	2100	1800	900	2600	800
3	Maksymalna moc nadawana na sektor [dBm]	53,01	53,01	47,78	52,04	49,03	53,01	53,01	47,78	52,04	49,03
II	Obciążenie:										
1	Typ anteny	Huawei ATR4518R4			Huawei ATR4518R6		Huawei ATR4518R4			Huawei ATR4518R6	
2	Producent anteny	Huawei			Huawei		Huawei			Huawei	
3	Nazwa anteny	31_GHLNT	31_GHLNT	31_GHLNT	32_HV	32_HV	41_GHLNT	41_GHLNT	41_GHLNT	42_HV	42_HV
4	Ilość anten	1			1		1			1	
5	Azymut	220					310				
6	Zakres kątów pochyleń anten [°]	0,00-10,00					0,00-10,00				
7	Wysokość zainst. n.p.t. [m]	32,50					32,50				
8	EIRP [W]	24775			13289		24775			13289	

„Bez pisemnej zgody Laboratorium niniejsze sprawozdanie nie może być powielane inaczej, jak tylko w całości. Ponadto wyniki dotyczą tylko badanych obiektów przywołanych w niniejszym sprawozdaniu z badań”

Tabela 2. Anteny radioliniowe - dane otrzymane od klienta

Charakterystyka promieniowania				kierunkowa			
Rzeczywisty czas pracy [h/dobę]				24			
Rodzaj wytwarzanego pola				stacjonarne			
Lp.	Linia radiowa			Antena			
	typ/producent	częstotliwość pracy [GHz]	moc wyjściowa [dBm]	typ/producent	średnica anteny [m]	azymut [°]	wysokość zainstalowania n.p.t. [m] (środek elektryczny anteny)
1	OPTIX RTN/HUAWEI	80/23	18/25	A23S80S06/Huawei	0,6	73	33,30
2	OPTIX RTN/HUAWEI	80/23	17/25	A23S80S06/Huawei	0,6	250	32,50
3	OPTIX RTN/HUAWEI	32	23	VHLP2-32/Andrew	0,6	354	33,30
4	OPTIX RTN/HUAWEI	80	18	VHLP2-80/Andrew	0,6	354	33,30

6. Wyniki pomiarów.

Wyniki pomiarów pól elektromagnetycznych dla celów ochrony środowiska przedstawia poniższa tabela. Piony pomiarowe zostały przedstawione w zał. 2.

Nr PP	Pole-E [V/m]	Pole-E+U [V/m]	Pole-H [A/m]	Pole-H +U [A/m]	Wysokość pomiaru [m]	Współrzędne PP x, y	Opis PP	WM _E	WM _H
1	0,7*	2,52	0,002	0,007	0,3 - 2,0	50°44'51.02" N 20°37'32.49" E	otoczenie stacji bazowej - 50 m wzdłuż gł. osi promieniowania - GKP	0,092	0,092
2	0,8	2,52	0,002	0,007	0,3 - 2,0	50°44'52.22" N 20°37'34.19" E	otoczenie stacji bazowej - 100 m wzdłuż gł. osi promieniowania - GKP	0,092	0,092
3	0,7*	2,52	0,002	0,007	0,3 - 2,0	50°44'53.43" N 20°37'35.9" E	otoczenie stacji bazowej - 150 m wzdłuż gł. osi promieniowania - GKP	0,092	0,092
4	0,7*	2,52	0,002	0,007	0,3 - 2,0	50°44'54.63" N 20°37'37.61" E	otoczenie stacji bazowej - 200 m wzdłuż gł. osi promieniowania - GKP	0,092	0,092
5	0,7*	2,52	0,002	0,007	0,3 - 2,0	50°44'55.83" N 20°37'39.31" E	otoczenie stacji bazowej - 250 m wzdłuż gł. osi promieniowania - GKP	0,092	0,092
6	0,7*	2,52	0,002	0,007	0,3 - 2,0	50°44'57.64" N 20°37'41.87" E	otoczenie stacji bazowej - 325 m wzdłuż gł. osi promieniowania - GKP	0,092	0,092
7	0,9	2,83	0,002	0,008	0,3 - 2,0	50°44'48.54" N 20°37'32.35" E	otoczenie stacji bazowej - 50 m wzdłuż gł. osi promieniowania - GKP	0,103	0,103
8	0,8	2,52	0,002	0,007	0,3 - 2,0	50°44'47.27" N 20°37'33.92" E	otoczenie stacji bazowej - 100 m wzdłuż gł. osi promieniowania - GKP	0,092	0,092
9	0,7*	2,52	0,002	0,007	0,3 - 2,0	50°44'45.99" N 20°37'35.49" E	otoczenie stacji bazowej - 150 m wzdłuż gł. osi promieniowania - GKP	0,092	0,092
10	0,7*	2,52	0,002	0,007	0,3 - 2,0	50°44'44.72" N 20°37'37.06" E	otoczenie stacji bazowej - 200 m wzdłuż gł. osi promieniowania - GKP	0,092	0,092
11	0,7*	2,52	0,002	0,007	0,3 - 2,0	50°44'43.44" N 20°37'38.63" E	otoczenie stacji bazowej - 250 m wzdłuż gł. osi promieniowania - GKP	0,092	0,092
12	0,7*	2,52	0,002	0,007	0,3 - 2,0	50°44'41.53" N 20°37'40.99" E	otoczenie stacji bazowej - 325 m wzdłuż gł. osi promieniowania - GKP	0,092	0,092
13	0,8	2,52	0,002	0,007	0,3 - 2,0	50°44'48.62" N 20°37'29.07" E	otoczenie stacji bazowej - 50 m wzdłuż gł. osi promieniowania - GKP	0,092	0,092
14	0,9	2,83	0,002	0,008	0,3 - 2,0	50°44'47.42" N 20°37'27.37" E	otoczenie stacji bazowej - 100 m wzdłuż gł. osi promieniowania - GKP	0,103	0,103
15	0,7*	2,52	0,002	0,007	0,3 - 2,0	50°44'46.21" N 20°37'25.66" E	otoczenie stacji bazowej - 150 m wzdłuż gł. osi promieniowania - GKP	0,092	0,092
16	0,7*	2,52	0,002	0,007	0,3 - 2,0	50°44'45.01" N 20°37'23.95" E	otoczenie stacji bazowej - 200 m wzdłuż gł. osi promieniowania - GKP	0,092	0,092
17	0,7*	2,52	0,002	0,007	0,3 - 2,0	50°44'43.81" N 20°37'22.25" E	otoczenie stacji bazowej - 250 m wzdłuż gł. osi promieniowania - GKP	0,092	0,092
18	0,7*	2,52	0,002	0,007	0,3 - 2,0	50°44'42" N 20°37'19.69" E	otoczenie stacji bazowej - 325 m wzdłuż gł. osi promieniowania - GKP	0,092	0,092

„Bez pisemnej zgody Laboratorium niniejsze sprawozdanie nie może być powielane inaczej, jak tylko w całości. Ponadto wyniki dotyczą tylko badanych obiektów przywołanych w niniejszym sprawozdaniu z badań”

Nr PP	Pole-E [V/m]	Pole-E+U [V/m]	Pole-H [A/m]	Pole-H +U [A/m]	Wysokość pomiaru [m]	Współrzędne PP x , y	Opis PP	WM _E	WM _H
19	0,8	2,52	0,002	0,007	0,3 - 2,0	50°44'50.9" N 20°37'28.88" E	otoczenie stacji bazowej - 50 m wzdłuż gł. osi promieniowania - GKP	0,092	0,092
20	0,7*	2,52	0,002	0,007	0,3 - 2,0	50°44'51.99" N 20°37'26.99" E	otoczenie stacji bazowej - 100 m wzdłuż gł. osi promieniowania - GKP	0,092	0,092
21	0,7*	2,52	0,002	0,007	0,3 - 2,0	50°44'53.07" N 20°37'25.09" E	otoczenie stacji bazowej - 150 m wzdłuż gł. osi promieniowania - GKP	0,092	0,092
22	0,7*	2,52	0,002	0,007	0,3 - 2,0	50°44'54.15" N 20°37'23.2" E	otoczenie stacji bazowej - 200 m wzdłuż gł. osi promieniowania - GKP	0,092	0,092
23	0,7*	2,52	0,002	0,007	0,3 - 2,0	50°44'55.23" N 20°37'21.3" E	otoczenie stacji bazowej - 250 m wzdłuż gł. osi promieniowania - GKP	0,092	0,092
24	0,7*	2,52	0,002	0,007	0,3 - 2,0	50°44'56.86" N 20°37'18.46" E	otoczenie stacji bazowej - 325 m wzdłuż gł. osi promieniowania - GKP	0,092	0,092
25	0,8	2,52	0,002	0,007	0,3 - 2,0	50°44'50.24" N 20°37'33.24" E	otoczenie stacji bazowej - 50 m wzdłuż gł. osi promieniowania - GKP	0,092	0,092
26	0,7*	2,52	0,002	0,007	0,3 - 2,0	50°44'50.66" N 20°37'35.71" E	otoczenie stacji bazowej - 100 m wzdłuż gł. osi promieniowania - GKP	0,092	0,092
27	0,7*	2,52	0,002	0,007	0,3 - 2,0	50°44'49.7" N 20°37'28.5" E	otoczenie stacji bazowej - 50 m wzdłuż gł. osi promieniowania - GKP	0,092	0,092
28	0,7*	2,52	0,002	0,007	0,3 - 2,0	50°44'49.0" N 20°37'26.0" E	otoczenie stacji bazowej - 100 m wzdłuż gł. osi promieniowania - GKP	0,092	0,092
29	0,7*	2,52	0,002	0,007	0,3 - 2,0	50°44'51.43" N 20°37'30.6" E	otoczenie stacji bazowej - 50 m wzdłuż gł. osi promieniowania - GKP	0,092	0,092
30	0,7*	2,52	0,002	0,007	0,3 - 2,0	50°44'53.05" N 20°37'30.42" E	otoczenie stacji bazowej - 100 m wzdłuż gł. osi promieniowania - GKP	0,092	0,092
A	0,7*	2,52	0,002	0,007	0,3 - 2,0	50°44'44.37" N 20°37'22.69" E	ul. Złota 8 - DPP	0,092	0,092
B	0,7*	2,52	0,002	0,007	0,3 - 2,0	50°44'43.98" N 20°37'23.65" E	ul. Złota 10 - DPP	0,092	0,092
C	0,7*	2,52	0,002	0,007	0,3 - 2,0	50°44'42.34" N 20°37'20.46" E	ul. Diamentowa 4 - DPP	0,092	0,092
D	0,7*	2,52	0,002	0,007	0,3 - 2,0	50°44'41.34" N 20°37'21.50" E	ul. Diamentowa 5 - DPP	0,092	0,092

Wynik pomiaru pole - E [V/m] - maksymalna wartość chwilowa zmierzona w danym pionie pomiarowym (uśredniona na podstawie punktu 11 załącznika do Rozporządzenia Ministra Klimatu z dnia 17 lutego 2020 r. w sprawie sposobów sprawdzania dotrzymania dopuszczalnych poziomów pól elektromagnetycznych w środowisku (Dz.U. 2020 poz. 258, Dz.U. 2022 poz. 1121)). Zgodnie z pkt. 7 załącznika do Rozporządzenia Ministra Klimatu z dnia 17 lutego 2020 r. w sprawie sposobów sprawdzania dotrzymania dopuszczalnych poziomów pól elektromagnetycznych w środowisku (Dz.U. 2020 poz. 258, Dz.U. 2022 poz. 1121) nie stosuje się poprawek pomiarowych.

Przyjęto najniższą dopuszczalną wartość składowej elektrycznej pola dla objętego pomiarami zakresu częstotliwości $\min(ME_{gr}) = 28 \text{ V/m}$ oraz składowej magnetycznej $\min(MH_{gr}) = 0,073 \text{ A/m}$.

* - wartość zmierzona poniżej zakresu akredytacji. Do obliczeń przyjęto wartość zgodną z dolną granicą akredytowanego zakresu pomiarowego metody.

GKP - główne kierunki pomiarowe

PKP - pomocnicze kierunki pomiarowe

DPP - dodatkowe punkty pomiarowe

PP - pion pomiarowy

U - niepewność pomiarowa rozszerzona, przy poziomie ufności 95%, z uwzględnieniem współczynnika rozszerzenia $k=2$

WM_E - wartość wskaźnikowa poziomu emisji pól elektromagnetycznych dla miejsc dostępnych dla ludności dla składowej elektrycznej pola

WM_H - wartość wskaźnikowa poziomu emisji pól elektromagnetycznych dla miejsc dostępnych dla ludności dla składowej magnetycznej pola

7. Stwierdzenie zgodności

Na podstawie wytycznych podanych w Rozporządzeniu Ministra Zdrowia z dnia 17 grudnia 2019 r. w sprawie dopuszczalnych poziomów pól elektromagnetycznych w środowisku (Dz.U. 2019 poz. 2448) oraz sposobów sprawdzania dotrzymania tych poziomów zgodnie z Rozporządzeniem Ministra Klimatu z dnia 17 lutego 2020 r. w sprawie sposobów sprawdzania dotrzymania dopuszczalnych poziomów pól elektromagnetycznych w środowisku (Dz.U. 2020 poz. 258) oraz Rozporządzeniem Ministra Klimatu i Środowiska z dnia 6 maja 2022 r. zmieniającego

„Bez pisemnej zgody Laboratorium niniejsze sprawozdanie nie może być powielane inaczej, jak tylko w całości. Ponadto wyniki dotyczą tylko badanych obiektów przywołanych w niniejszym sprawozdaniu z badań”

rozporządzenie w sprawie sposobów sprawdzania dotrzymywania dopuszczalnych poziomów pól elektromagnetycznych w środowisku (Dz.U. 2022 poz. 1121), dotyczących źródła wymagań, które muszą być spełnione, w oparciu o zasadę podejmowania decyzji zgodną z pkt. 26 Rozporządzenia Ministra Klimatu z dnia 17 lutego 2020 r. (Dz.U. 2020 poz. 258), na podstawie wyników pomiarów pól elektromagnetycznych wykonanych w dniu 2023-04-27 stwierdzono, że wszystkie wyniki przeprowadzonych pomiarów w danym obszarze pomiarowym oraz wyznaczone na tej podstawie wskaźniki WME oraz WMH są mniejsze od wartości dopuszczalnych – zgodnie z przepisami wydanymi na podstawie art. 122 ust. 1 ustawy z dnia 27 kwietnia 2001 r. – Prawo ochrony środowiska – załącznikiem do Rozporządzenia Ministra Klimatu i Środowiska z dnia 17 lutego 2020 r. w sprawie sposobów sprawdzania dotrzymywania dopuszczalnych poziomów pól elektromagnetycznych w środowisku (Dz.U. 2020 poz. 258, pkt 26).

8. Oświadczenie.

Wyniki badania odnoszą się wyłącznie do badanego obiektu.

Bez pisemnej zgody sprawozdanie nie może być powielane inaczej, jak tylko w całości.

Uwagi i zastrzeżenia przyjmowane są w formie pisemnej.

9. Spis załączników.

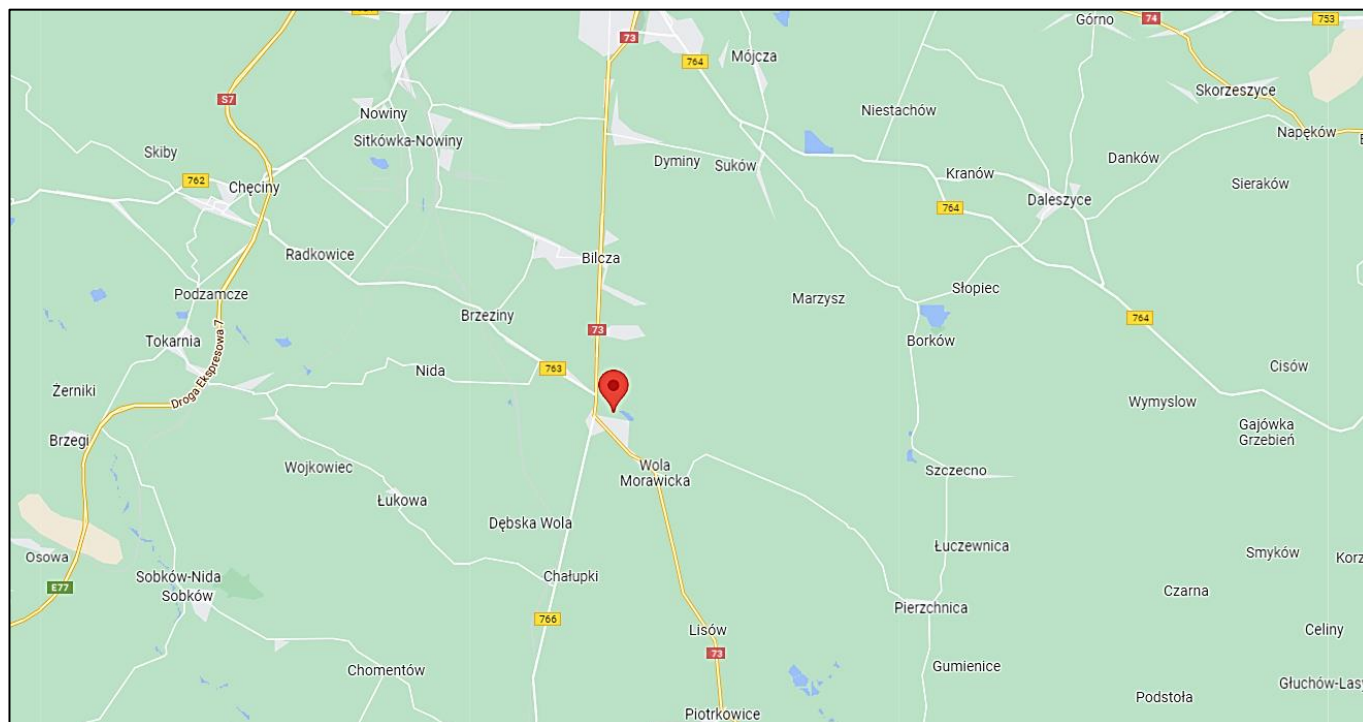
Załącznik 1. Lokalizacja obiektu.

Załącznik 2. Widok pionów pomiarowych

Załącznik 3. Widok stacji bazowej

Koniec sprawozdania

Załącznik 1. Lokalizacja obiektu








Współrzędne geograficzne	
długość:	20°37'30.96"E
szerokość:	50°44'49.89"N

Załącznik 2. Widok pionów pomiarowych



LEGENDA:

-  inna instalacja radiokomunikacyjna
-  brak dostępu
-  pion pomiarowy
-  antena sektorowa
-  antena radioliniowa

Skala 1: 5000

Załącznik 3. Załączniki graficzne

